

Silane Coupling劑 複合化高무 (II)

柳
閔徐
丙善*
權**

1. 概 要

前報¹⁾에서 報告한 바와 같이 silane coupling劑는 分子內에 2個 이상의 有機側 및 無機側 反應性作用基를 갖으므로, 주로 無機 充填劑의 表面處理劑로 利用되었으나 1970年代의 石油波動 이후 高分子用 充填劑 分野에 있어서도 silane coupling劑의 bridge役割을 應用해서 合成고무, 合成樹脂, 塗料 및 接着劑등에 利用되는 各種 無機質材料에 넓게 使用되어 왔다.^{2, 3)}

또한 表面處理 方法외에도 유리 纖維와 其他 白色 充填劑에 併用配合해서 polycarbonate, Nylon, ABS와 같은 熱可塑性樹脂의 物性補強에도 效果가 확인되어 热可塑性樹脂의 應用範圍擴張을 期待할 수 있게 되었으며, 最近에는 各種樹脂 및 彈性體에 grafting시키는 것에 의해서 나타나는 coupling劑 變性效果와 高分子物의 無機質에 대한 接着性 改良 및 耐熱耐候性 改良에 관한 研究⁴⁾가 진행되고 있다. 특히 silane coupling劑의 無機側 作用基인 alkoxysilyl基가 水存在下에서 縮合함으로써 架橋結合을 形成할 수 있는 점에 着眼한 架橋劑로서의 用途가 注目되어 本報에서는 이를 中心으로 記述하고자 한다.

2. Silane Coupling劑의 Polymer에의 導入

Polymer 自體의 改質과 物性을 向上시키는 方法으로 polymer에 monomer를 graft시켜 이 grafted polymer를 應用하는 것이 一般化되어 있다. 그러나 monomer로서 silane coupling劑를 利用하는 方法은 最初 Dow Corning社에 의해서 紹介되었으며 점차 實用價值를 增加시켜 많은 研究가 이루어지고 있다.^{2, 5, 6)}

Silane coupling劑를 polymer에 架橋劑로서 導入하는 方法은 먼저 polymer main chain에 silane을 graft시키고 이 graft된 polymer를 利用하여 架橋結合을 만들므로써 달성되어질 수 있다. 그러나 silane을 polymer에 graft시키기 위해서는 polymer 자체에 silane의 有機側 作用基와 反應할 수 있는 作用基를 갖거나, 또는 silane이 反應할 수 있는 條件(例를 들면 peroxide radical存在下 vinyl polymer와 不飽和基를 갖는 silane coupling劑 간의 反應 또는 vinyl monomer와 不飽和基를 갖는 silane coupling劑와의 共重合)이 成立되어야만 架橋性 polymer가 얻어지며 이와같이 얻어진 alkoxysilyl 變性 polymer는 空氣中の水分, 水, 溫水 또는 steam에 接觸시킴으로서 縮合反應을 거쳐 安定한 siloxane結合을 形成하여 crosslinked polymer가 된다. Fig. 1에는 이들 反應을 圖式的으로 나타내었다.⁷⁾

* 韓國신발 研究所 研究室長

** 韓國신발 研究所 所長

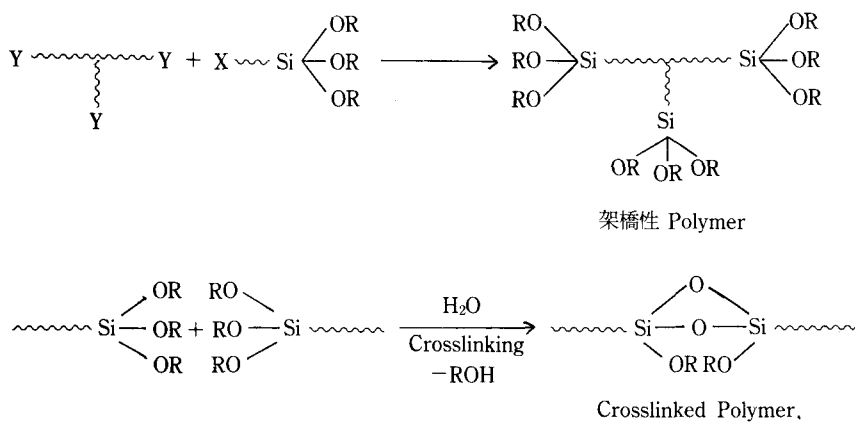


Fig. 1. Schematic chemical bonding of silane for polymer.

3. 架橋剤로서의 Silane의 應用例

Silane crosslinked polymer는 새로운 形態의 polymer 生成反應으로써 熱 press 法에 의해서, 또는 水와의 接觸에 의해서 架橋體가 얻어질 수 있으나 moisture curing에 의한 方法이 보다 더一般的으로 檢討되고 있으며 polyethylene (PE)의 境遇가 그 한例이다.⁸⁾ 이전 까지의 PE의 架橋方法은 電子線 架橋과 peroxide를 利用한 化學架橋가主流을 이루었으나 이와 같은 方法은 많은 energy를 必要로 할 뿐만 아니라 工程 또한 複雜하다. 그러나 PE에 silane架橋 system을 導入할 境遇 特殊設備가 不必要

한 점, 特殊形狀의 成形品製造가 容易한 점, 製造工程中에서 energy를 效率的으로 利用할 수 있는 점 등의 利點 때문에 점차 實用化되어 왔다. PE에 silane coupling剤를 導入시키는 方法은 peroxide 存在下에서 silane을 直接 grafting시키는 方法과 ethylene monomer狀態에서 grafting시킨 후 重合하는 方法이 있으나 前記의 方法이 더普遍化되어 있다.

[이]와 같이 生成되어진 grafted polymer는 graft된 silane의 縮合反應을 돋기 위해 使用되는 觸媒 (dibutyltin dilaurate, dibutyltin diacetate, trichloroacetic acid, tetrapropyltitanate 및 tetrabutyltitanate 등) 存在下에서 80°C – 100°C 程度의 溫水 또는 steam에 의해 架橋되며 cable insulator, water heating pipe

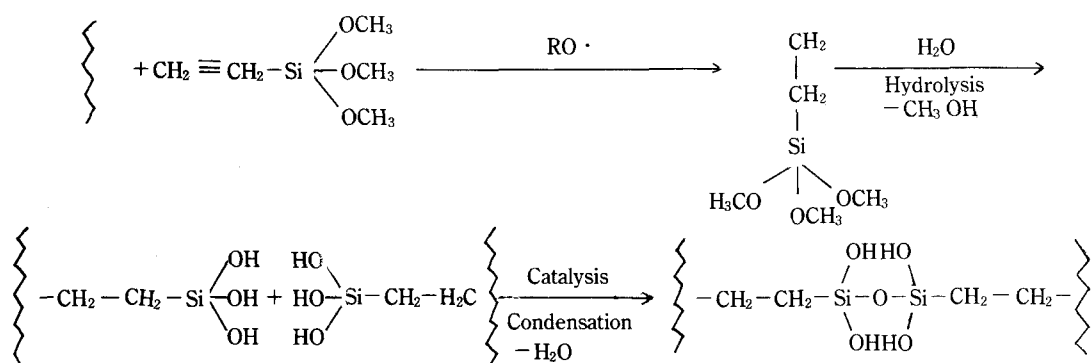


Fig. 2. Crosslinking model of polyethylene by vinyltrimethoxysilane.

등으로 使用되고 있다. Fig. 2에는 vinyltrimethoxy silane에 의한 PE의 架橋 model을 나타내었다. 이와같이 形成되어진 siloxane網目構造體는 高分子化合物로서 제반 物性에 balance를 갖으나, 使用되어진 silane과 反應條件에 따라 分子量, 界面構造는 달라질 수 있다.^{9, 10)} 그리고 이때 silane coupling劑의 silanol基가 縮合重合한 polymer의 構造는 random 한 網目構造로 볼 수 있으며 網目構造가 갖을 수 있는可能한 形態는 상자形 또는 사다리形(Fig. 3)으로 불어 있다고 할 수 있다.¹¹⁾

또한 그 構造는 各種의 條件에 의해서 影響을 받지만 가장 重要한 것은 pH값이며 中性附近에서는 graft鎖의 分子量이 크게 되고 酸 또는 알카리에서는 分子量이 적게 되는 傾向을 나타내는데^{12, 13)} 縮合重合의 mechanism側面에서만 생각할 때 中性과 알칼리性에서는 서로 유사하게 사다리形 網目構造를 만드는 傾向을 갖으며 특히 알카리性 中에서는 SiOH가 安定한 SiO-로써 存在하여 큰 分子가 되지 않는다고 볼 수 있다. 그러나 酸性에서는 주로 상자形의 網目構造를 形成하게 되기 때문에 網目構造의 分子設計는 pH의 調節에 의해서 可能하여 진다.

또한 二種 以上의 silane을 混合하게 되면 分子設計는 더욱 더 複雜 하여진다. 그러나一般的으로 graft된 側鎖의 分子量은 더욱 增加하게 되고 그로부터 polymer 自體의 接着性을 增加시킬 뿐 아니라 複合材料의 強度를 向上시키게 된다.¹⁴⁾

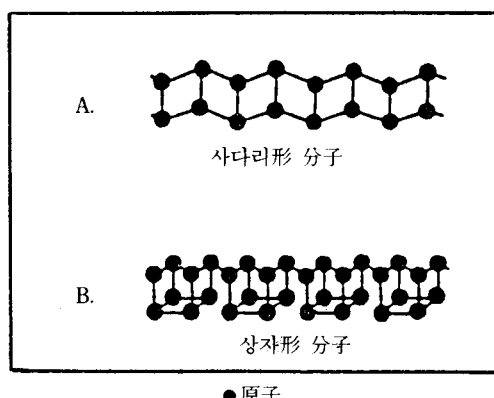


Fig. 3. Structure of grafted silane on polysiloxane.

Table 1. Polyethylene crosslinking technologies.

| | Steam tube | Radiation | Silane grafting |
|------------------------------|--|---|---|
| Application | LV,MV,HV | LV(MV) | LV,MV,(HV) |
| Capital Cost, M USD | 1.5-1.8 | 2.0-3.0 | 0.5-0.8 |
| Versatility | + Plastics/Elastomers - Crosslinking Temperature | - Polymer limitation - Thickness limit - Compounding | - PE and its copolymers - Thickness limit - Compounding |
| Operation | · Need skilled personnel · High scrap level · Hight energy consumption | · Simple · Low scrap · Very high energy efficiency | |
| Production rate(m/min) | | | |
| 1.5 mm ² (1kV) | 150-300 | 1000 | 800-1000 |
| 25 mm ² (20kV) | 10-25 | — | 25-60 |
| 150 mm ² (1kV) | 35-40 | 80 | 80 |

Table 1에는 low density polyethylene(LDPE)을 利用하요 cable 用 insulator를 만들 境遇 架橋方法에 따른 여러가지 factor를 比較한 것이다. capital cost는 生產現場에서 가장 重要한 要素라 볼 수 있는데 silane grafting이 가장 낮은 값을 나타내고 있어 매우 有用한 架橋 method이라 할 수 있다. 그러나 high voltage insulator는 silane 架橋物이 견딜 수 있는데에는 限界가 있으며 이 境遇는 crosslinking time이 길어지는 短點을 갖게 되는데 이것은 insulation thickness effect에 起因한 것이다.¹⁵⁾

따라서 最近에는 silane moisture架橋物의 이런 短點을 改善하기 위한 架橋效率 增大 쪽으로 研究가 推進되고 있다.

이외에도 viscose rayon filament을 benzene中에서 dimethyl 및 methylvinyl diacetoxysilane으로 處理하여 架橋反應이 進行되어¹⁶⁾ 網狀重合體가 얻어지며(1)

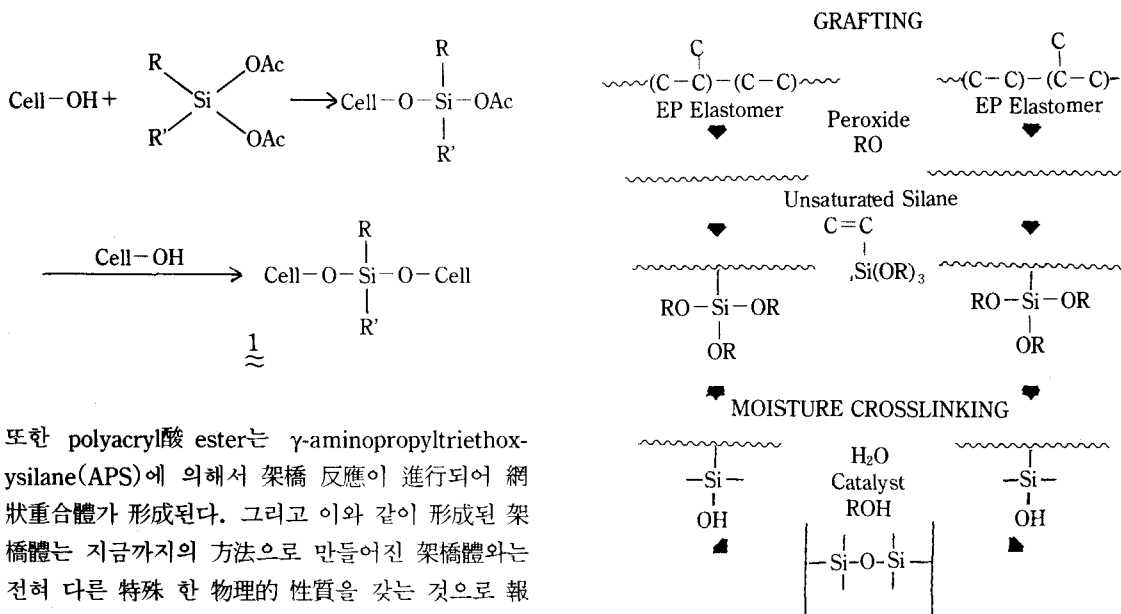


Fig. 4. EP elastomers silane-grafting/moisture-cure process chemistry.

또한 polyacryl酸 ester는 γ -aminopropyltriethoxysilane(APS)에 의해서架橋反應이進行되어網狀重合體가形成된다. 그리고 이와같이形成된架橋體는 지금까지의方法으로만들어진架橋體와는 전혀 다른特殊한物理的性質을 갖는 것으로報告되어있어¹⁷⁾汎用elastomer, resin외에特殊分野에適用可能性도타진되고있다.

한편 전선cable 및建材用으로주로使用되어지는 ethylene-propylene elastomer는 내오존성, 내후성 및내연성을特徵으로갖으며지금까지는주로過酸化物架橋과黃에의한架橋가이루어졌지만¹⁸⁾main chain自體가 organic peroxide나 free radical generator에 의해容易하게 radical을生成시킴으로서 silane化合物에 의해grafting과crosslinking을하게되는데¹⁵⁾이反應에서ethylene部分2차수소의除去에 의해生成된2차radical은vinyl, methacryl, allyl monomer와쉽게grafting될수있으며이때efficiency은1에가깝다.¹⁵⁾

그리고propylene部分에서도2차free radical形態로degradation된propylene은grafting, radical transfer 그리고 coupling 등에 의해安定化되나이러한 일련의反應으로chain自體는安定화시킬수있으나架橋效果는전혀나타내지못한다. Fig. 4에는EP elastomer의crosslinking mechanism을나타내었다.¹⁵⁾

이反應은첫번째段階에서polymer와organosilane과의grafting에의한combination을나타내며두번째段階에서는水分과觸媒에의해grafted polymer가縮合反應을함으로써Si-O-Si結合이形成

되는것을보여주고있다. 그러나이境遇縮合은silane의無機側作用基에서alcohol類가除去되어야하기때문에加水分解過程을거치게되는데이때少量의lewis酸添加에의해加速化될수있다.¹⁹⁾

또한이때生成되어지는Si-O-Si의結合energy는EP elastomer의一般的인架橋方法인peroxide에의해形成되는架橋體의網目構造즉,C-C의結合에너지628KJ/mol보다큰779KJ/mol의값을가져理論적으로더욱더安定하고堅固한網目構造가形成된다. 그리고이것은polymer의mechanical properties와aging properties 및내열수성을向上시키는하나의原因이된다. 그러나境遇에따라서는分子間이表面上으로떨어져있기때문에結合할수없어反應率이낮거나또는국부적인架橋點形成에의한應力集中現象도나타나全般的인物性balance을잃게되는境遇도있다.²⁰⁾

4. Halogenated Elastomer의水中架橋

할로겐화고무는polymer main chain에붙은ha-

logen原子의 독특한 特性 때문에 一般汎用 彈性體와는 달리 제반 物性에 있어서 特殊性을 갖으며 여러가지 特殊 用途로 利用되어 왔다. 대표적인 할로겐화고무는 CR, CIIR, BIIR, CSM, CB-BR 등이 있으며 이들 elastomer도 할로겐 原子에 起因해서 moisture curing이 可能한 것으로 報告되어 있는데^{5) 21~23)} 이들의 反應에서 有機側 作用基와 反應하는 matrix側의 作用基는 주로 allyl位의 halogen이 되며 이 때의 反應은 radical反應이 아닌 ion反應으로 60°C~100°C의 溫度範圍에서 容易하게 進行된다고 報告되어 있다.^{21~23)}

또한 이때 halogen에 graft可能한 silane compound는 APS가 主種을 이루었으나 mercapto, epoxy 및 vinyl group을 갖는 silane compound도 grafting-hydrolysis-condensation에 의해 架橋體가 얻어 질 수 있으며 이에 관한 研究가 進行中에 있다. 그러나 水中架橋反應에서 무엇보다도 重要한 要素는 filler의 選擇에 있고 silica를 使用할 境遇 고무 分子間의 架橋反應 외에 silica와 고무分子間에 bridge結合이 生成하여 silica粒子 주변에 固定化된 고무상 (immobilized rubber layers)가 形成되어 水中架橋體의 物性이 현저하게 上昇한다.²⁴⁾

또한 main chain에 二重結合을 갖는 境遇에는 coupling劑와 sulfur를 併用하는 것에 의해서 有效網目鎖濃度를 最大로 增大시킬 수 있다. 그러나 過剩의 網目鎖는 elastomer의 伸張率 및 引張强度는 떨어뜨리나 全般的으로 modulus를 上昇시켜 硬度를 增加시킨다.²⁰⁾ Fig. 5에는 halogen化 elastomer와

APS간의 架橋 反應을 圖式的으로 나타내었다.

halogen화 elastomer에 대한 grafting 效率 및 水中架橋 反應에 대한 검토는 주로 山下^{21~25)} 등에 의해서 실시되어 速度論的인 data가 報告되어 있다. grafting 效率은 toluene과 같은 溶媒 중에서 고무溶液과 silane을 特定溫度에서 反應시킨 후 GC에 의해 逆算定하는 方法으로 反應率을 計算하고 이로부터 二次速度式으로 plot한 후 각각의 反應溫度에서 反應速度常數값을 구하고 다시 Arrhenius식²⁵⁾에 基礎하여 plot함으로써 ΔEa가 計算된다.

Arrhenius식

$$\ln k = -\frac{\Delta E_a}{RT} + \ln A$$

Fig. 6에는 1-chlorobutadiene-butadiene copolymer와 APS간의 反應을 Arrhenius식으로 plot한結果를 나타내었다.

각 反應溫度에 따른 lnk 값이 양호한 直線의 關係에 있으므로 기울기로 부터 ΔEa값이 換算되며 이와같은 方法에 의해서 計算되어진 halogen화 elastomer와 APS간의 溶液反應에 있어서의 kinetic data를 Table 2에 나타내었다.

反應速度는 特殊彈性體인 bromobutyl rubber (BIIR)과 chlorobutyl rubber(CIIR)이 CB-BR과 chlorosulfonic polyethylene(CSM)에 비해서 느린 것을 알 수 있으며 活性化 energy는 CSM이 가장 큰 값을 나타내고 있는데 이는 CB-BR, CIIR, BIIR이 allyl位의 活性 halogen을 갖는 弹性體로서

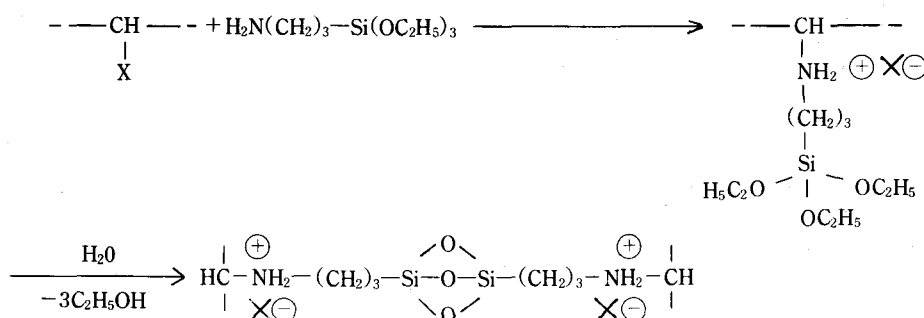


Fig. 5 Schematic chemical bonding of silane for halogenated elastomer.

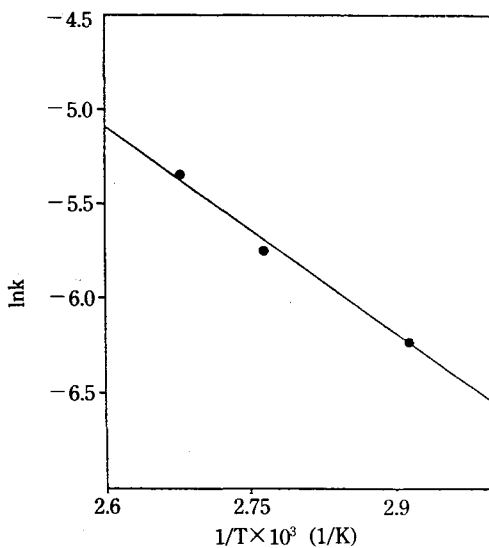


Fig. 6. Arrhenius plot for the reaction of CB-BR with APS.

Table 2. Kinetic data of the reaction of halogenated elastomer with APS^{21, 24, 26)}

| Polymer | Temp. (°C) | KX103 ($1\text{ mol}^{-1}\text{S}^{-1}$) | ΔEA (KJ/mol) | A ($1\text{ mol}^{-1}\text{S}^{-1}$) |
|---------|------------|--|----------------------|--|
| CB-BR | 70 | 2.04 | 30 | 6.5×10 |
| | 90 | 3.10 | | |
| | 100 | 4.95 | | |
| BIIIR | 70 | 0.57 | 41 | 8.2×10^2 |
| | 80 | 0.88 | | |
| | 90 | 1.3 | | |
| CIIR | 90 | 0.044 | 69 | 3.7×10^5 |
| | 100 | 0.10 | | |
| | 110 | 0.14 | | |
| CSM | 40 | 0.34 | 89 | 2.0×10^{11} |
| | 60 | 1.8 | | |
| | 80 | 11 | | |
| | 100 | 85 | | |

S_n2 反應에 있어서 雙極子-雙極子反應으로進行되는데 반하여 CSM의 反應은 CSM 中의 chlorosulfon group의 S原子가 酸素의 存在에 의해서 ion的인

正電荷를 갖게되어 이온-雙極子反應型의 S_n2 反應이기 때문이다.²⁷⁾

그러나 이들反應은 main chain에 silane^o導入되는 grafting反應에 국한되며, 水中架橋型elastomer는 roll mill을 利用하여 elastomer分子에 silane을 grafting시켜 만든 silane配合物을 成形한 후 水中에沈積함으로서 網目構造가形成되는데 그 한例를 Fig. 7에 나타내었다.²⁶⁾

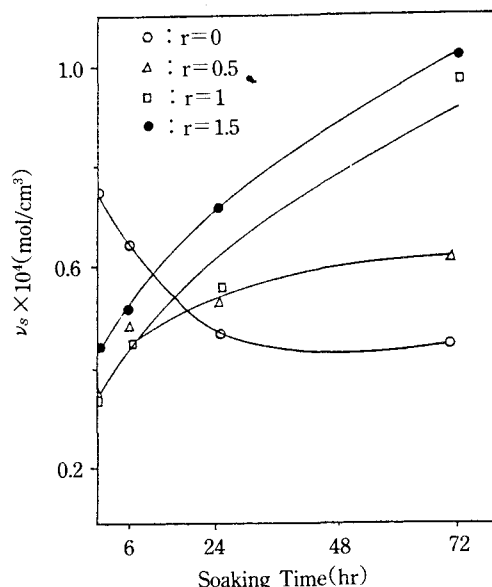


Fig. 7. Effect of soaking time at 70°C on ν_s moisture-cured CB-BR.

Silane으로서 APS를配合하지 않고 溫水中에沈積한 境遇는沈積時間이經過함에 따라 ν_s 의 값이 현저히減少하나 점차 silane의量이增加할수록 網目鎖濃度가增加하게된다. 이는 silane化合物이 溫水中에서加水分解와縮合反應에 의해有效網目鎖濃度가增加한다고 볼수 있으나 반드시 ν_s 값이增加와 elastomer로서物理的特性의向上이直接關聯되어 있다고만은 볼 수 없다.²⁰⁾

또한 이들配合物을大氣中에暴露시키는 것에 의해서도大氣中濕氣에의해서架橋反應이進行되어網目構造가生成되며elastomer로서의物性을 갖게 되는데CB-BR에APS를配合한후大氣中에

30日 暴露했을 때의 物性變化를 Table 3에 나타내었다.(大氣溫度: 24–30°C, 濕度: 75–80%, r=1.5)²⁶⁾

Table 3. Properties of atmospheric moisture-cured of CB-BR

| Exposure time (days) | ν_S (10^{-4} mol/cm ³) | T _B (Kg/cm ²) | E _B (%) | M ₁₀₀ (Kg/cm ²) | M ₅₀ (Kg/cm ²) |
|----------------------|---|--------------------------------------|--------------------|--|---------------------------------------|
| 0 | 0.31 | 18.8 | 104 | 18.4 | 106. |
| 7 | 1.22 | 46.1 | 149 | 33.0 | 19.1 |
| 14 | 2.26 | 53.2 | 149 | 37.6 | 21.6 |
| 30 | 2.30 | 62.4 | 125 | 51.9 | 30.6 |

이 反應의 境遇 大氣中의 濕氣에 의해서도 架橋가 進行되어 14日 程度에서 完了되는 것으로 나타났으나 그 以上的 時間이 經過하더라도 架橋反應은 繼續 進行되어 그에 따른 物性效果도 커진다. 그리고 APS 配合物의 溫水沈積 72hr의 ν_S 값과 大氣中 1週間 暴露하는 것이 四敵할 만한 값을 나타내나 物性面에서는 大氣 暴露의 境遇가 현저히 우세하게 되는데 이것은 溫水沈積中에 多量의 水分에 의해 架橋反應과 더불어 加水分解反應이 進行하기 때문이다.²⁶⁾

따라서 水架橋反應은 物性을 고려할 境遇 아직까지는 大氣中에서 自然 curing하는 쪽이 유리하다 할 수 있으며 마찬가지로 CIIR, BIIR 및 CSM의 境遇도 大氣水分에 의해서 架橋反應이 進行되는 것으로 報告되어 있다.²⁸⁾

5. 맷음말

水中架橋型 elastomer는 아직까지는 實用化段階에 이르진 못했으나 polymer自體에 functional group으로서 halogen을 갖는 境遇는 熱에 의해서 silane의 grafting이 可能하고 그렇지 않은 境遇는 benzoyl peroxide와 같은 開始劑를 使用함으로써 silane의 grafting이 可能하다. 또한 이들 pendant化된 polymer간의 反應에 의해서 三次元 網目構造가 形成되어 elastomer로서의 特性을 나타내는데 이와 같은 架橋System이 導入되면 既存의 sulfur架橋系나 peroxide架橋系에 비해 flexibility增加, 機械的 特性向上 등의 物性 向上 效果를 期待할 수 있으며 또한 press工程의 簡素化에 의한 energy節減 效果도 期待할 수 있다.

따라서 silane 架橋物에 대한 用途開發 및 研究開發 必要性은 elastomer分野 뿐만 아니라 全般的인 polymer分野에서 繼續的으로 進行되어야 할 것이다.

參 考 文 獻

- 柳涼善, 白南哲, 韓國고무學會誌, 24, 211 (1989)
- PRANBK. PAL, S. N. CHAKRAVARTY and S. K. DE, *J. Appl. Polym. Sci.*, 28, 659 (1983)
- 青木恂 次郎, “ポリマー ダイジエスト” 23, 13 (1987)
- 信越 シリコーン編 “シランカツプリング薦” Product data, 2 (1980)
- S. Yamashita, A. Yamada, *Macromol. Chem.*, 186, 1373 (1985)
- 柳涼善, 白南哲, 韓國고무學會誌, 22, 3 (1987)
- 松谷守康 各務謙一, “プラスケ技術”, 416 (1987)
- E. P. Plueddemann “Additives for Plastics” 2, 49 (1980)
- H. Ishida, Molecular Characterization of Composites Interfaces, H. Ishida, G. Kumar, Eds., Plenum, New York (1985) p 25
- H. Ishida, *Polym. Composites*, 5, 101 (1984)
- J. F. Brown, Jr., L. H. Vogt, *J. Am. Chem. Soc.* 84, 4313 (1965)
- J. D. Miller, H. Ishida, *Polym. Composites*, 5, 18 (1984)
- H. Ishida, J. D. Miller, *Macromol.*, 17, 1659 (1984)
- E. P. Plueddemann, P. Pape, Proc. 40th, Ann. Tech. Conf., Reinf. Plast./Composites Inst. 17